

Міжнародна науково-практична конференція
**«ЕНЕРГЕТИЧНІ УСТАНОВКИ ТА АЛЬТЕРНАТИВНІ
ДЖЕРЕЛА ЕНЕРГІЇ»**

11-12 березня 2024 року

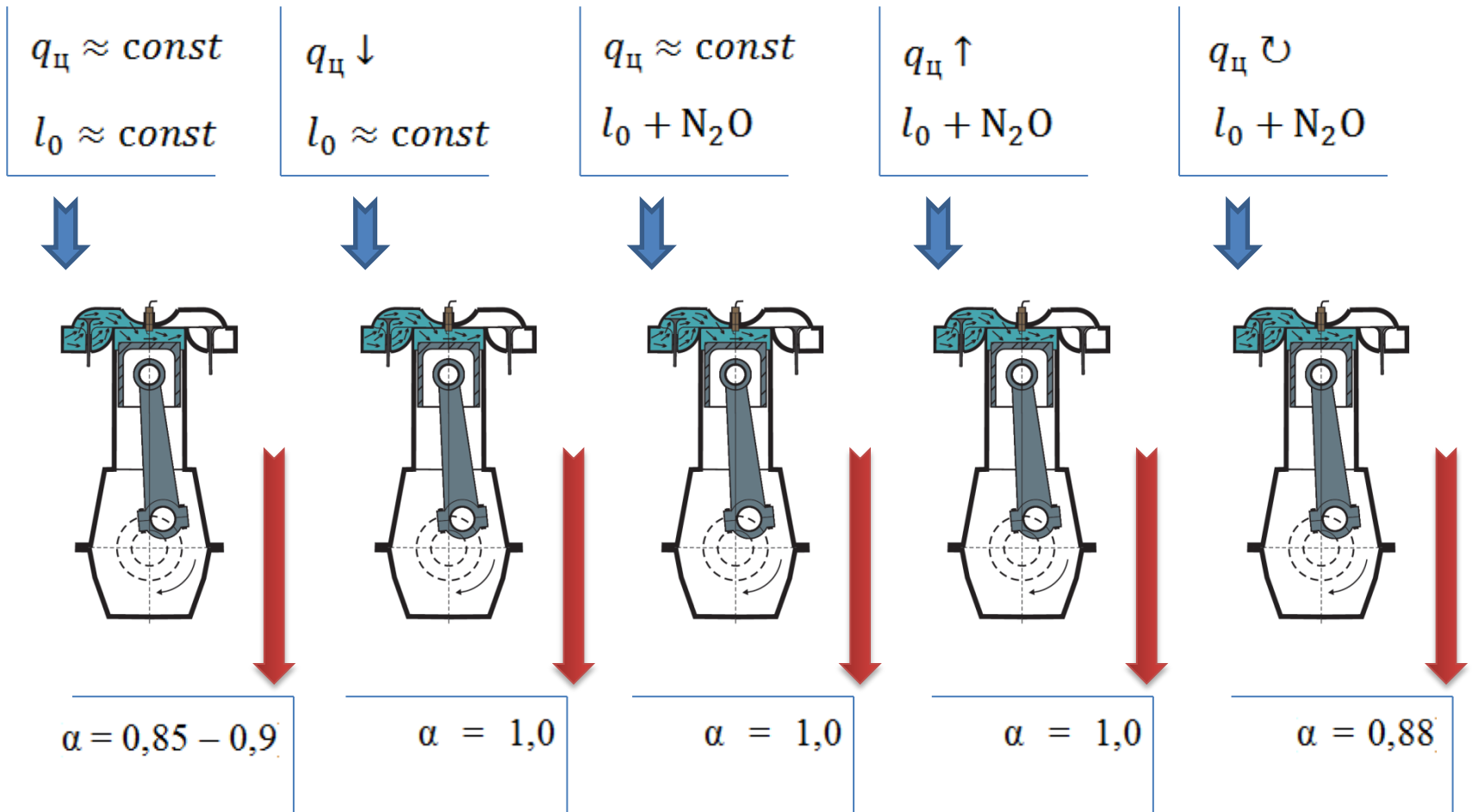
Секція: Екологізація енергетичних систем. Енергетика і
навколишнє середовище. Енергозберігаючі технології.

**ПОЛІПШЕННЯ ЕНЕРГЕТИЧНИХ ПОКАЗНИКІВ ДВИГУНІВ
З ІСКРОВИМ ЗАПАЛЮВАННЯМ В РЕЖИМАХ ПОВНИХ
НАВАНТАЖЕНЬ ДОБАВКОЮ ЗАКИСУ АЗОТУ ДО
ПОВІТРЯНОГО ЗАРЯДУ**

Гутаревич Юрій Феодосійович

Гора Микола Дмитрович

Режими регулювання двигуна з системою впорскування бензину, зворотним зв'язком і каталітичним нейтралізатором при різних частотах обертання і повному відкритті дросельної заслінки



Залежність середнього індикаторного тиску від параметрів робочого циклу і показників роботи двигуна

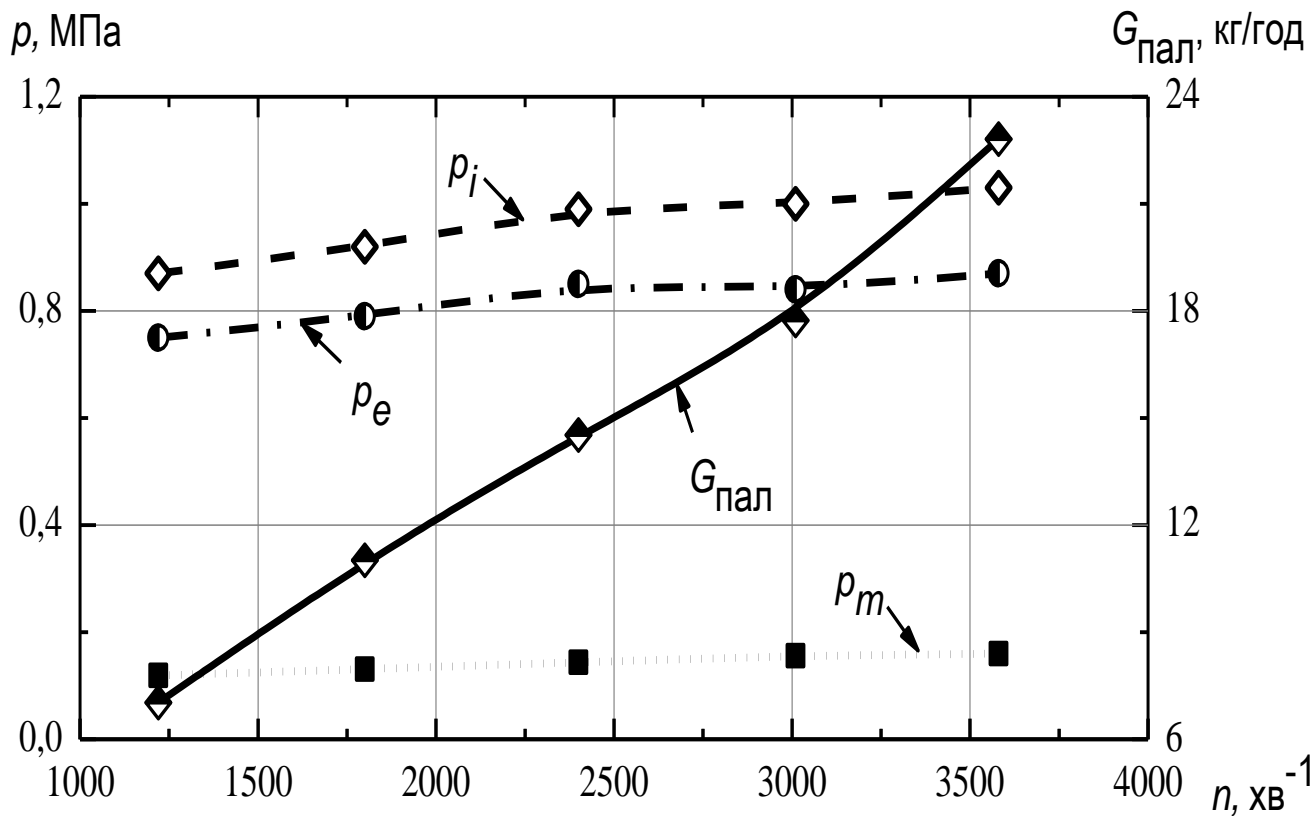
$$p_i = \frac{\eta_i}{\alpha} \cdot \frac{\rho'_{\text{пов}}}{l_0} \cdot \eta_v \cdot H_u$$

Методика проведення теоретичного дослідження:

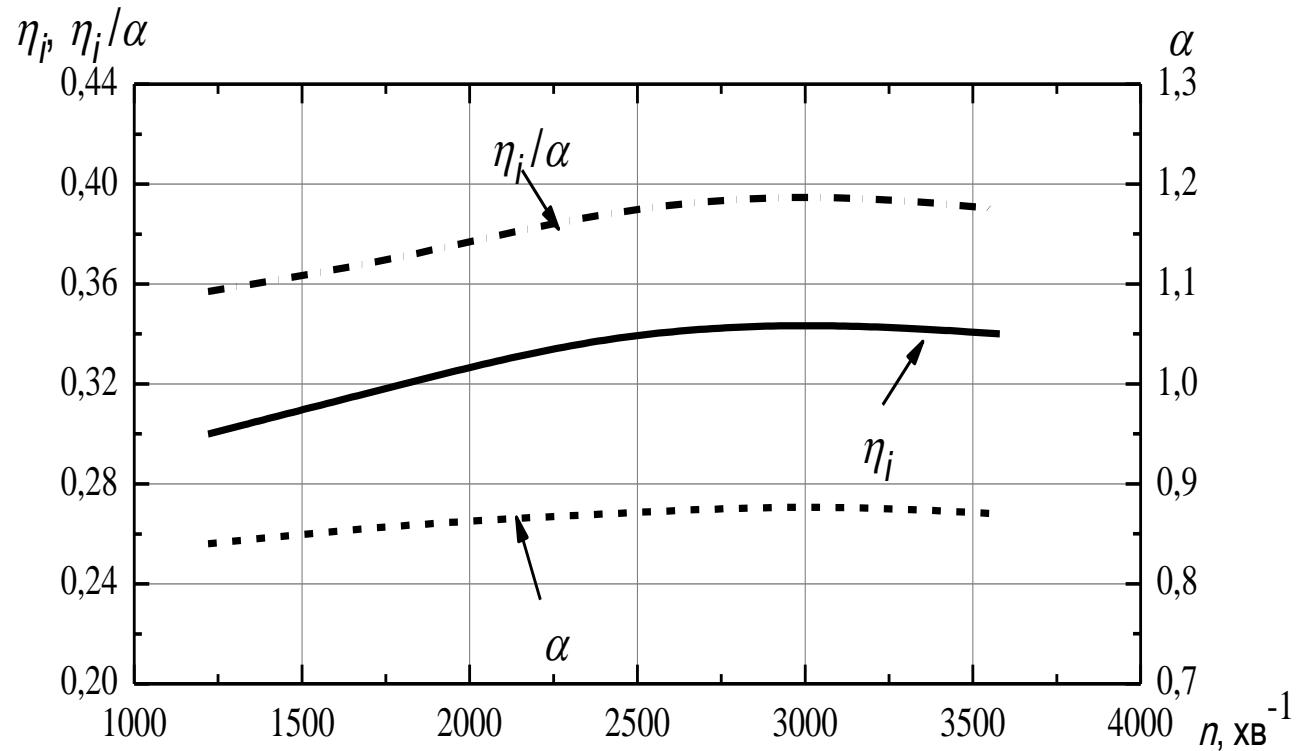
З використанням експериментальних даних обґрунтували ті параметри, які є незмінними при використанні добавки, визначили ті параметри, які змінюються при добавці закису азоту різної величини і за формулою розрахували середній індикаторний тиск

- η_i – індикаторний к.к.д.;
- α – коефіцієнт надміру повітря;
- $\rho'_{\text{пов}}$ – густина свіжого заряду на впуску в циліндри з врахуванням добавки закису азоту, кг/м³;
- l_0 – теоретично необхідна кількість повітря для згорання одиниці маси палива, кг/кг;
- η_v – коефіцієнт наповнення;
- H_u – нижча теплота згорання палива, МДж/кг.

Залежність енергетичних показників робочого циклу і годинної витрати бензину від частоти обертання двигуна Opel C30NE за роботи з повним навантаженням



Залежність показників робочого циклу від частоти обертання двигуна Opel C30NE за роботи з повним навантаженням



Залежності використані при теоретичному дослідженні

$$\rho_{\text{пов}} = \frac{p_0}{R \cdot T_0}$$



Густину повітря визначили з рівняння стану для ідеального газу

Співвідношення між масовими і об'ємними частками витрати повітря і закису азоту



$$g_{\text{пов}} = \frac{\mu_i \tau_i}{\sum \mu_i \tau_i}$$

$$l_0 = \frac{1}{g_{O_2}} \cdot \left(\frac{8}{3} C + 8H - O_2 \right)$$



Теоретична кількість свіжого заряду – суміші повітря і закису азоту для згорання одиниці маси палива розраховували за залежністю

Масова частка кисню в суміші

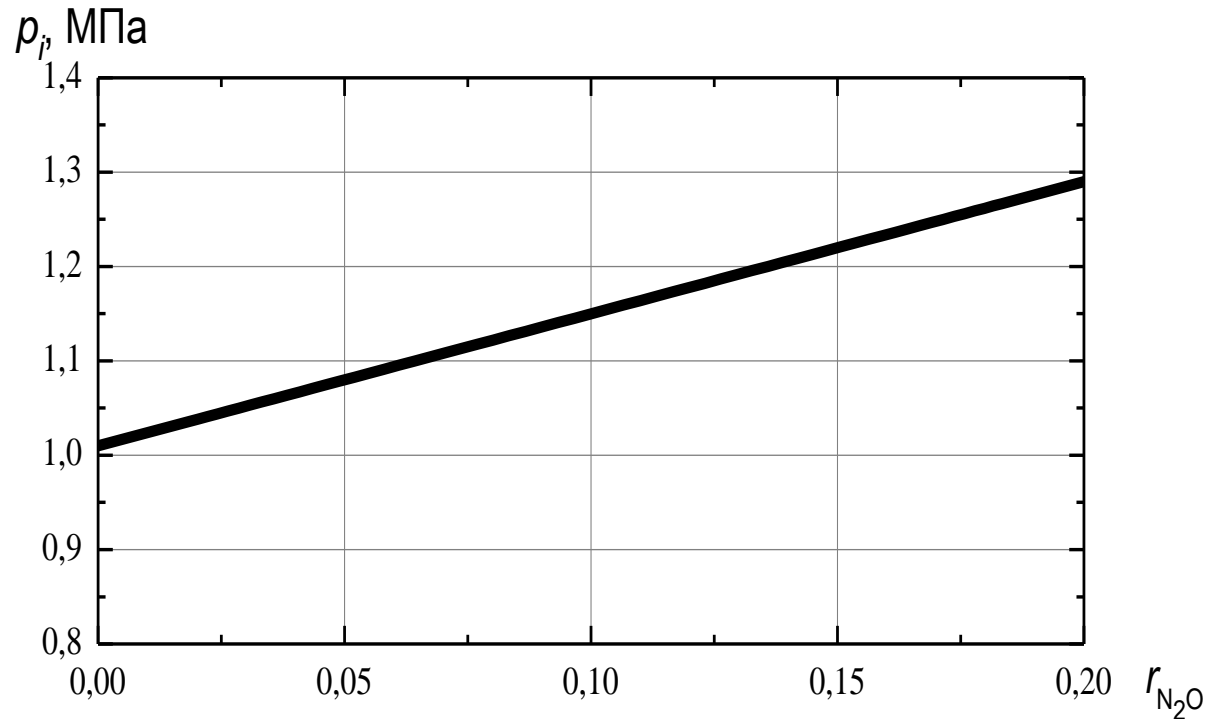


$$g_{O_2} = g_{O_{2\text{пов}}} g_{\text{пов}} + g_{O_2 N_2 O} g_{N_2 O}$$

Результати розрахунків показників при теоретичному дослідженні

Вміст кисню азоту в повітряному заряді, %	$\rho'_{\text{пов}}$, кг/м ³	$g_{\text{O}_2\text{сум}}$ кг/кг	l_0 , кг/кг	$\frac{\rho'_{\text{пов}}}{l_0}$	p_i , МПа
0	1,225	0,232	14,83	0,0826	1,01
10	1,29	0,251	13,7	0,0941	1,15
20	1,35	0,2683	12,82	0,1053	1,29

Залежність середнього індикаторного тиску від об'ємного вмісту закису азоту в свіжому заряді двигуна з іскровим запалюванням за роботи на паливо-повітряній суміші при $\alpha = 0,88$



Достовірність проведених розрахунків

Достовірність проведених розрахунків перевірили співставленням величини p_i без добавки закису азоту з отриманою в експерименті ($p_{i\text{експ}}$) за роботи двигуна з частотою 3000 хв^{-1} . Для виміряних при вказаній частоті значень крутного моменту ($201,74 \text{ Н}\cdot\text{м}$), моменту механічних втрат ($37 \text{ Н}\cdot\text{м}$), і відповідно розрахованого індикаторного моменту ($238,7 \text{ Н}\cdot\text{м}$) отримали:

$$p_{i\text{експ}} = \frac{M_i \cdot \pi \cdot \tau}{V_d} \cdot 10^{-3} = \frac{238,7 \cdot 3,14 \cdot 4}{3} \cdot 10^{-3} = 0,999 \text{ (МПа)}$$

Розрахована величина p_i і експериментальна $p_{i\text{експ}}$ практично співпадають

ВИСНОВКИ

Можна очікувати, що добавка закису азоту в кількості **0,1об'єм.** збільшить енергетичні показники при незмінному складі паливо-повітряної суміші ($\alpha = 0,88$) в $1,15/1,01 = \mathbf{1,138}$ рази, добавка закису азоту в кількості **0,2об'єм.** в $1,29/1,01 = \mathbf{1,277}$ рази. Можливість використання таких добавок з точки зору міцності деталей (підвищення тиску і температури) буде визначено експериментально.

ДЯКУЄМО ЗА УВАГУ